

# 19 Diffraction de Fraunhofer

## Principe de Huygens - Fresnel

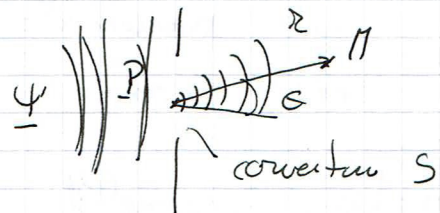
- tout pt est source secondaire, sphérique
- état vibratoire préparation à l'onde incidente et la surface
- Les ondes secondaires interfèrent  
(Kirchhoff demandera qu'il y a en réalité un déphasage de  $\pi/2$ )

⇒ Source secondaire en P

$$d\Psi = k \Psi(P) \frac{1}{2} e^{ikr} ds$$

$$\Psi(M) = \iint_S d\Psi$$

$$= \iint_S k \Psi(P) \frac{1}{2} e^{ikr} ds$$



en réalité ;  $k = k(\theta)$ , mais Fresnel considère en première  $k = cst$

Justification : Kirchhoff propose en 1882

une explication en utilisant Maxwell

⇒ équation d'onde → eq. de Helmholtz

hyp : onde peu déformée modifiée  
(i) vu à l'origine à grande distance

Conclusion :  $k$  est imaginaire pure

Les ondes secondaires sont en quadrature de phase.

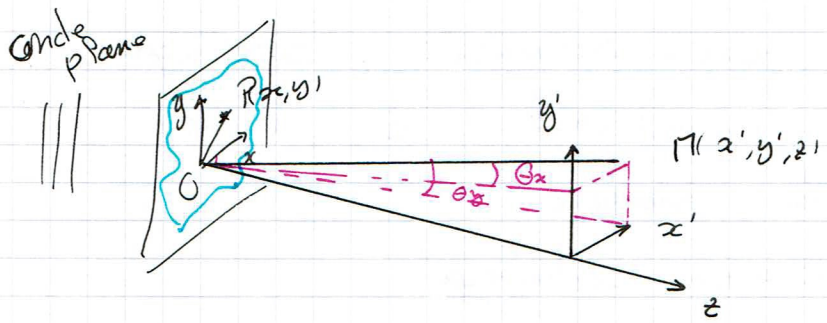
$$k = \frac{i}{\lambda} \frac{1 + \cos \theta}{2}$$

⇒ Huygens-Fresnel est une bonne approximation.

$$\Rightarrow k = \frac{i}{\lambda}$$

# Diffractio de Fraunhofer

2



Vague d'onde

Pupille  $P(x, y)$

on observe en  $M(x', y', z)$

S' approximation de Fraunhofer

- i) paraxiale  $x', y' \ll z$ ; ie  $k = \frac{i}{\lambda} = \text{est}$
- ii) champs pointain  $z \gg x, y$

$$\text{Jugement - Fresnel} : \Psi(M) = \frac{i}{\lambda} \iint_S \Psi(P) \frac{e^{+ikr}}{r} dx dy$$

$$r = PM$$

$$\text{On a } \sin \theta_x = \frac{x'}{OM} \quad \text{et} \quad \sin \theta_y = \frac{y'}{OM}$$

$$\text{hyp ii)} \Rightarrow 1/2 = 1/OM$$

A vrai pour la distance mais pas pour la phase

$$\text{On a } \vec{r} = \vec{OM} - \vec{OP} \Rightarrow r^2 = \vec{OM}^2 + \vec{OP}^2 - 2 \vec{OM} \cdot \vec{OP}$$

$$\text{or } \cancel{\text{neglige }} \vec{OP} \approx 0 \quad r = OM \left( 1 + \frac{\vec{OP}^2}{OM^2} - 2 \frac{\vec{OM} \cdot \vec{OP}}{OM} \right)^{1/2}$$

$$\Rightarrow r = \left( OM^2 - 2OM \cdot OP \right)^{1/2} = OM \sqrt{1 - \frac{2OM \cdot OP}{OM^2}}$$

cleriquement l'unité :

$$\sqrt{1+\epsilon} \approx 1 + \frac{1}{2}\epsilon \quad r \approx OM \left( 1 - \frac{\vec{OM} \cdot \vec{OP}}{\vec{OM}^2} \right) = \vec{OM} - \frac{\vec{OM} \cdot \vec{OP}}{OM}$$

$$= OM - x \sin \theta_x - y \sin \theta_y$$

$$\Rightarrow \underline{\Psi(M)} \approx \frac{i}{\lambda} \frac{e}{OM} \iint_S \underline{\Psi(P)} e^{-i k (x \sin \theta_x + y \sin \theta_y)} dx dy$$

On obtient l'intensité lumineuse avec  $|f(M)|^2$

$$\text{comme } I_2 \sim I_0 M = \text{cst}$$

seulement la valeur de l'intégrale change

$$\Rightarrow I(M) \propto \left| \iint_S \Psi(P) e^{-ik(x \sin\theta_x + y \sin\theta_y)} dx dy \right|^2$$

$$\sin\theta_x = \frac{x'}{z}$$

$$\Rightarrow I(x', y', z) \propto f\left(\frac{x'}{z}, \frac{y'}{z}\right)$$

$$\sin\theta_y = \frac{y'}{z}$$

Si on reçoit l'écran ( $z$ ), le

lumière subit uniquement une homothétie.

### Conditions de validité de Fraunhofer

on néglige  $\frac{\vec{OP}}{OM}$  i.e.  $\frac{\vec{OP}^2}{OM} \ll 1 \quad \forall P \in S$

On a négligé la termes quachatique du déphasage.

Sait à la taille caractéristique de l'objet

diffusant, avec  $OM \approx z$  (paraxiale) (champs pointu)

La condition devient

$$z \gg \frac{a^2}{\lambda}$$

Pour  $\lambda = 1 \mu m$ ,  $a = 1 cm \Rightarrow z \gg 100 m$

$$a = 10 \mu m \Rightarrow z \gg 1 cm$$

Sous ces conditions champs pointu ( $z \gg \frac{a^2}{\lambda}$ )

et paraxiale  $\theta_x, \theta_y \ll 1$  on a

$$I(M) = \frac{1}{z^2 \lambda^2} \left| \iint_S \Psi(P) e^{-ik(x \frac{x'}{z} + y \frac{y'}{z})} dx dy \right|^2$$

$$\left( \sin\theta_x = \frac{x'}{z} \text{ et } \sin\theta_y = \frac{y'}{z} \right)$$

## Transformée de Fourier

en faisant le changement de variable

$$u = \frac{\partial c'}{\partial z} \quad \text{et} \quad v = \frac{\partial c'}{\partial \bar{z}}$$

On obtient :

$$\Psi(M) = \frac{i}{\lambda} \frac{e^{ikz}}{z} \underbrace{\int_{-\infty}^{\infty} \Psi(P) e^{-i2\pi(ux+vy)} dx dy}_{\text{Transformée de Fourier}}$$

de la fact pupille  $\times$  front d'onde

$\Psi(P)$ : fact pupille : front d'onde dans l'obstacle Pistant

$u$  et  $v$  sont des fréquences spatiales

La diffraction de Fraunhofer revient à faire

la transformée de Fourier du front d'onde

sur la surface de passage.

C'est la convolution des 2 fact.

Sait  $\Psi_{\text{incident}}(x, y)$  le front d'onde incident

et  $P(x, y)$  le fact pupille

$$\Rightarrow \Psi_{(x, y)} = \Psi_{\text{incident}}(x, y) \cdot P(x, y) : \text{champ transmis}$$

Donc le front d'onde diffracté est obtenu

$$\text{par } \text{TF}(\Psi_{(x, y)}) = \hat{\Psi}_{\text{mode}} \hat{P}(u, v) * \hat{P}(u, v)$$

## Diffraction dans une fente

$$\text{fente}(x) = \begin{cases} 1 & \text{si } |x| < a \\ 0 & \text{sinon} \end{cases}$$

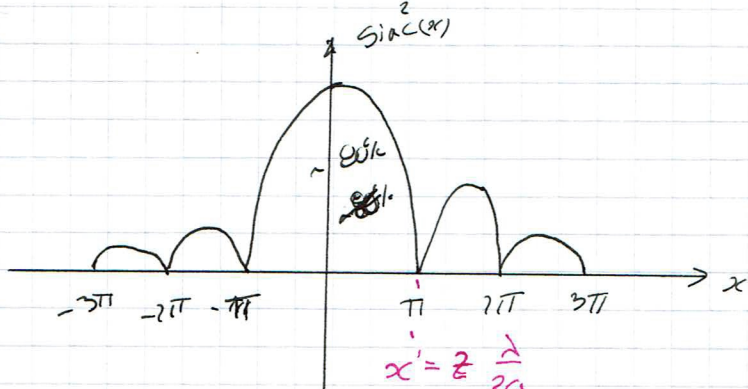
$$\text{TF}\{\text{fente}(x)\}(u) = \int_{-a/2}^{a/2} \text{fente}(x) e^{-2i\pi ux} dx = 2a \text{sinc}(2au\pi)$$

$\Rightarrow$  pour un ouïe plan  $\Leftrightarrow \Psi(x) = \psi_0$

$$\text{On a } \Psi = \frac{i}{\lambda} \frac{e^{ikz}}{z} 2a \Psi_0 \text{sinc}(2az/\lambda)$$

avec  $u$ , fréquence spatiale i.e.  $u = \frac{\omega_z'}{\lambda z}$

$$\Rightarrow I = I_{\text{max}} \cdot \text{sinc}^2\left(\frac{2a \omega_z' \pi}{\lambda z}\right)$$



→ Piste

di a ↗, x' ↗

## Diffractia par un diaphragme circulaire



TF (diaphragme)  $(u, v)$

S'intégrale fait intervenir les fil de Bessel

$$\Rightarrow I(\Theta) = I_{\text{max}} \left( \frac{2 J_1(k a \sin \theta)}{k a \sin \theta} \right)^2$$

a : rayon

C'est une tache d'Aing , premier zéro à  $k a \sin \theta = 1,22 \pi$

$$\Rightarrow \text{angle de diffraction} \quad \sin \theta \approx \theta \approx 1,22 \frac{\lambda}{2a}$$

voir slide

Le critère de Rayleigh est que  
2 objets sont angulairement séparés si le  
musc de P'mu est au premier annulus sombre  
de l'objectu  $\Rightarrow 1,22 \frac{\lambda}{D}$